

1-芳酰基-4-(1'-N- β -D-吡喃型糖基)氨基硫脲类化合物的合成

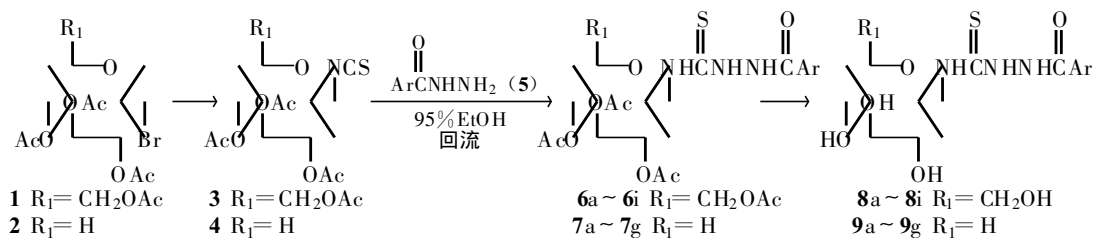
于建新* 刘方明 李燕萍 程亮 范歆 刘育亭

(新疆大学化学系 乌鲁木齐 830046)

摘要 通过2,3,4,6-四-O-乙酰基- β -D-吡喃型葡萄糖异硫氰酸酯(3)和2,3,4-三-O-乙酰基- β -D-吡喃型木糖异硫氰酸酯(4)与取代的芳基酰肼(5)的亲核加成反应合成了10个1-芳酰基-4-(1'-N-2',3',4',6'-四-O-乙酰基- β -D-吡喃型葡萄糖基)氨基硫脲(6)和7个1-芳酰基-4-(1'-N-2',3',4'-三-O-乙酰基- β -D-吡喃型木糖基)氨基硫脲(7),并经脱除乙酰基得到10个1-芳酰基-4-(1'-N- β -D-吡喃型葡萄糖基)氨基硫脲(8)和7个1-芳酰基-4-(1'-N- β -D-吡喃型木糖基)氨基硫脲(9),所得化合物经元素分析,IR,¹H NMR确证了结构。

关键词 糖基硫脲, 酰氨基硫脲, 合成

硫脲衍生物以其广泛的生物活性受到人们的关注^[1]。但糖基硫脲衍生物的合成及性质研究却鲜有报道^[2]。而糖类化合物是生物体内的可适性分子,作为信号分子糖参与了生命体内几乎所有的生物过程^[3],并且氮苷类化合物本身也表现出众多重要的生理活性^[4]。另外,糖基片段的引入可以显著地改善酰氨基硫脲类化合物的水溶性。因此,合成在同一分子内既含有糖基又含有酰氨基硫脲的化合物无疑是一项十分有意义的工作。为了寻找新的活性物质并更好地研究此类化合物的构效关系,我们通过2,3,4,6-四-O-乙酰基- β -D-吡喃型葡萄糖异硫氰酸酯(3)和2,3,4-三-O-乙酰基- β -D-吡喃型木糖异硫氰酸酯(4)与芳基酰肼(5)经亲核加成反应将这两类结构聚集在1个分子内,合成了10种1-芳酰基-4-(1'-N-2',3',4',6'-四-O-乙酰基- β -D-吡喃型葡萄糖基)氨基硫脲(6)和7个1-芳酰基-4-(1'-N-2',3',4'-三-O-乙酰基- β -D-吡喃型木糖基)氨基硫脲(7),脱除乙酰基得相应的10种1-芳酰基-4-(1'-N- β -D-吡喃型葡萄糖基)氨基硫脲(8)和7种1-芳酰基-4-(1'-N- β -D-吡喃型木糖基)氨基硫脲(9)。反应方程式如下:



1 实验部分

1.1 仪器与试剂

柳本MP-S₃型微熔点仪; Perkin-Elmer 2400型元素分析仪; Biorad FT-40型光谱仪(KBr压片); Brucker AC-80型核磁共振仪, CDCl₃和D₂O为溶剂, TMS为内标。反应过程中所用试

剂均为分析纯, 不经处理直接使用; 石油醚为 60~90 °C. TLC 选用青岛海洋化工厂产硅胶 GF₂₅₄ 或 G, 加 0.5% CMC 溶液自制(展开剂乙酸乙酯和石油醚体积比为 2:3), 不经活化直接使用, 于紫外灯下观察; VLC 选用青岛海洋化工厂产硅胶 G 或 H, 干法装柱.

1.2 化合物的合成

1-溴-2, 3, 4, 6-四-O-乙酰基- α -D-吡喃型葡萄糖(1)和 1-溴-2, 3, 4-三-O-乙酰基- α -D-吡喃型木糖(2)参照文献[5]方法制备. 取代的芳酰基酰肼(5)参照文献[6]方法制备.

2, 3, 4, 6-四-O-乙酰基- β -D-吡喃型葡萄糖异硫氰酸酯(3)和 2, 3, 4-三-O-乙酰基- β -D-吡喃型木糖异硫氰酸酯(4)的制备: 将 5 g (15 mmol) 干燥的 Pb(SCN)₂ 的 30 mL 无水甲苯溶液加热至微沸, 于搅拌下滴加 12 mmol 的 1 或 2, 并在保持微沸状态下, 继续搅拌 3.5 h 反应完全, 热过滤除去铅盐, 加石油醚(60~90 °C)至混浊, 冷却结晶分别得 4.21 g 化合物 3, 产率 89% 和 3.48 g 化合物 4, 产率 90%; 按文献[5]方法用乙醇-水进行 3 的重结晶纯化时, 分离得到了 3 与乙醇的加成产物 N-(2', 3', 4', 6'-四-O-乙酰基- β -D-吡喃型葡萄糖基)氨基硫代甲酸乙酯(10)1.05 g, 产率 22%.

1-芳酰基-4-(1'-N-2', 3', 4', 6'-四-O-乙酰基- β -D-吡喃型葡萄糖基)氨基硫脲(6)和 1-芳酰基-4-(1'-N-2', 3', 4'-三-O-乙酰基- β -D-吡喃型木糖基)氨基硫脲(7)的制备通法: 将 2.0 mmol 的 3 或 4 与 2.0 mmol 取代的芳酰基酰肼(5)在 10 mL 95% 的乙醇中回流 2 h 后(TLC 显示反应完全), 直接加水至混浊, 冷却结晶; 或减压蒸馏, 残留物经柱层析分离分别得 6 或 7.

化合物 3, 4, 6 和 7 及 10 的物理常数、元素分析、IR 和 ¹H NMR 结果见表 1、表 2 和表 3.

表 1 化合物 4, 6, 7 和 10 的物理常数及元素分析数据

化合物	Ar	分子式	产率/%	mp/ °C	元素分析实测值(计算值)/%		
					C	H	N
4	—	C ₁₂ H ₁₅ NO ₅ S	90	87~88	45.33(45.42)	4.77(4.76)	4.42(4.41)
6a	Ph	C ₂₂ H ₂₇ N ₃ O ₁₀ S	92	128~130	50.22(50.28)	5.16(5.18)	7.93(8.00)
6b	4-pyridinyl	C ₂₁ H ₂₆ N ₄ O ₁₀ S	88	160~162	47.88(47.91)	4.95(4.98)	10.58(10.64)
6c	p-ClPh	C ₂₂ H ₂₆ ClN ₃ O ₁₀ S	88	117~119	47.13(47.19)	4.97(4.68)	7.45(7.50)
6d	p-MeO Ph	C ₂₃ H ₂₉ N ₃ O ₁₁ S	94	115~116	49.70(49.73)	5.25(5.26)	7.53(7.56)
6e	o-MeO Ph	C ₂₃ H ₂₉ N ₃ O ₁₁ S	89	148~150	49.71(49.73)	5.20(5.26)	7.49(7.56)
6f	o-HOPh	C ₂₂ H ₂₇ N ₃ O ₁₁ S	91	192~193	48.69(48.80)	4.96(5.03)	7.68(7.76)
6g	Ph-N ₂ —	C ₂₄ H ₂₈ N ₆ O ₁₀ S	86	94~95	48.58(48.65)	4.69(4.76)	14.10(14.18)
6h		C ₂₂ H ₂₆ N ₄ O ₁₂ S	70	148~150	46.27(46.32)	4.53(4.59)	9.77(9.82)
6i		C ₂₅ H ₂₈ F ₃ N ₅ O ₁₀ S	70	148~150	46.27(46.32)	4.53(4.59)	9.77(9.82)
6j		C ₂₃ H ₂₈ N ₆ O ₁₀ S	83	232~233	47.51(47.58)	4.84(4.86)	14.42(14.48)
7a	Ph	C ₁₉ H ₂₃ N ₃ O ₈ S	93	146~147	50.30(50.33)	5.05(5.11)	9.20(9.27)
7b	4-pyridinyl	C ₁₈ H ₂₂ N ₄ O ₈ S	84	186~187	47.55(47.57)	4.76(4.88)	12.29(12.33)
7c	p-ClPh	C ₁₉ H ₂₂ ClN ₃ O ₈ S	88	218~219	46.74(46.77)	4.45(4.54)	8.56(8.61)
7d	p-MeO Ph	C ₂₀ H ₂₅ N ₃ O ₉ S	88	208~209	49.56(49.68)	5.00(5.21)	8.49(8.69)
7e	o-HOPh	C ₁₉ H ₂₃ N ₃ O ₉ S	89	160~161	48.58(48.61)	4.92(4.94)	8.79(8.95)
7f	Ph-N ₂ —	C ₂₁ H ₂₄ N ₆ O ₈ S	69	176~177	48.14(48.46)	4.24(4.65)	15.76(16.15)
7g	p-O ₂ NPh	C ₁₉ H ₂₂ N ₄ O ₁₀ S	75	148~149	45.66(45.78)	4.02(4.45)	10.95(11.24)
10	—	C ₁₇ H ₂₅ N ₅ O ₁₀ S	22	155~156	46.81(46.89)	5.74(5.79)	3.12(3.22)

表2 化合物3, 4, 6, 7和10的IR数据

化合物	IR/cm ⁻¹
3	2104(s NCS), 1747(vs C=O), 914(m, C ₁ -H)
4	2025(s NCS), 1751(vs C=O), 911(w, C ₁ -H)
6a	3270(m, NH), 1732(vs CH ₃ C=O), 1678(s PhC=O), 1234(vs C=S), 913(m, C ₁ '-H)
6b	3190(m, NH), 1751(vs CH ₃ C=O), 1691(s 4-C ₅ H ₄ NCO=O), 1239(vs C=S), 908(m, C ₁ '-H)
6c	3318(m, NH), 1752(vs CH ₃ CO), 1714(s p-ClPhCO), 1237(vs C=S), 912(m, C ₁ '-H)
6d	3327(m, NH), 1754(vs CH ₃ CO), 1682(s p-MeOPhCO), 1230(vs C=S), 914(m, C ₁ '-H)
6e	3328(m, NH), 1751(vs CH ₃ CO), 1678(s o-MeOPhCO), 1224(vs C=S), 910(m, C ₁ '-H)
6f	3312(m, NH & OH), 1754(vs CH ₃ CO), 1661(s o-HOPhCO), 1221(vs C=S), 903(m, C ₁ '-H)
6g	3308(m, NH), 1756(vs C=O), 1230(vs C=S), 913(m, C ₁ '-H)
6h	3340(m, NH), 1757(vs CH ₃ CO), 1651(s p-O ₂ NPhCO), 1219(vs C=S), 913(m, C ₁ '-H)
6i	3305(m, NH), 1755(vs CH ₃ CO), 1234(vs C=S), 913(m, C ₁ '-H)
6j	3246(m, NH), 1748(vs CH ₃ CO), 1651(s ArCO), 1232(vs C=S), 909(m, C ₁ '-H)
7a	3313(m, NH), 1750(vs CH ₃ CO), 1691(s PhCO), 1221(vs C=S), 906(m, C ₁ '-H)
7b	3313(m, NH), 1752(vs CH ₃ CO), 1680(s 4-C ₅ H ₄ NCO), 1226(vs C=S), 904(m, C ₁ '-H)
7c	3274(m, NH), 1739(vs CH ₃ CO), 1691(s p-ClPhCO), 1223(vs C=S), 905(m, C ₁ '-H)
7d	3312(m, NH), 1754(vs CH ₃ CO), 1698(s p-MeOPhCO), 1221(vs C=S), 904(m, C ₁ '-H)
7e	3456(m, OH), 3308(m, NH), 1748(vs CH ₃ CO), 1640(s o-HOPhCO), 1225(vs C=S), 911(m, C ₁ '-H)
7f	3302(m, NH), 1751(vs CH ₃ CO), 1714(s ArCO), 1222(vs C=S), 909(m, C ₁ '-H)
7g	3311(m, NH), 1762(vs CH ₃ CO), 1698(s p-O ₂ NPhCO), 1233(vs C=S), 906(m, C ₁ '-H)
10	3316(s NH), 1747(vs C=O), 913(w, C ₁ -H)

表3 化合物3, 4, 6, 7和10的¹H NMR数据

化合物	¹ H NMR δ
3	6.90(d, 1H, J=9.6 Hz C ₁ -H), 5.90~3.60(m, 6H, 糖环上 2', 3', 4', 5', 6'-H), 2.12, 2.04(2s 12H, 4×CH ₃ CO)
4	5.37(d, 1H, J=8.0 Hz C ₁ -H), 5.14~3.53(m, 5H, 糖环上 2', 3', 4', 5', 5'-H), 2.09, 2.08, 2.07(3s 9H, 3×CH ₃ CO)
6a	9.52(bs 3H, 3×NH), 7.96~7.49(m, 5H, Ar-H), 5.74(t, 1H, J=9.6 Hz C ₁ '-H), 5.37~3.90(m, 6H, 糖环上 2', 3', 4', 5', 6'-H), 2.04, 2.03, 2.01, 1.99(4s 12H, 4×CH ₃ CO)
6b	8.85~7.69(dd 4H, J=5.7 Hz, 4-pyridine-H), 7.55(bs 3H, 3×NH), 5.67(t, 1H, J=8.4 Hz C ₁ '-H), 5.38~3.68(m, 6H, 糖环上 2', 3', 4', 5', 6'-H), 2.06, 2.04, 2.03, 2.02(4s 12H, 4×CH ₃ CO)
6c	9.16(bs 3H, 3×NH), 7.69~7.26(m, 4H, Ar-H), 5.70(t, 1H, J=8.9 Hz C ₁ '-H), 5.38~3.70(m, 6H, 糖环上 2', 3', 4', 5', 6'-H), 2.05, 2.03, 2.00, 1.99(4s 12H, 4×CH ₃ CO)
6d	9.18(bs 3H, 3×NH), 7.92~6.94(m, 4H, Ar-H), 5.74(t, 1H, J=9.8 Hz C ₁ '-H), 5.36~3.85(m, 6H, 糖环上 2', 3', 4', 5', 6'-H), 3.88(s, 3H, CH ₃ O), 2.09, 2.04, 2.02, 2.00(4s 12H, 4×CH ₃ CO)
6e	10.67(bs 3H, 3×NH), 8.24~7.00(m, 4H, Ar-H), 5.87(t, 1H, J=9.2 Hz C ₁ '-H), 5.51~3.67(m, 6H, 糖环上 2', 3', 4', 5', 6'-H), 4.09(s, 3H, CH ₃ O), 2.18, 2.03, 2.00, 1.99(4s 12H, 4×CH ₃ CO)
6f	10.80(bs 1H, OH), 9.85(bs 1H, N ₁ -H), 9.44(bs 1H, N ₄ -H), 8.75(bs 1H, N ₂ -H), 7.80~6.75(m, 4H, Ar-H), 5.69(t, 1H, J=8.0 Hz C ₁ '-H), 5.40~3.57(m, 6H, 糖环上 2', 3', 4', 5', 6'-H), 2.16, 2.06, 2.04, 2.02(4s 12H, 4×CH ₃ CO)
6g	9.29(bs 3H, 3×NH), 8.29~7.30(m, 6H, Ar-H 和 =CH), 5.72(t, 1H, J=8.2 Hz C ₁ '-H), 5.51~3.67(m, 6H, 糖环上 2', 3', 4', 5', 6'-H), 2.03, 2.02, 1.99, 1.95(4s 12H, 4×CH ₃ CO)
6h	9.44(bs 3H, 3×NH), 8.40~7.32(m, 4H, Ar-H), 5.67(t, 1H, J=8.2 Hz C ₁ '-H), 5.50~3.96(m, 6H, 糖环上 2', 3', 4', 5', 6'-H), 2.05, 2.03, 2.00, 1.99(4s 12H, 4×CH ₃ CO)
6i	8.95(bs 3H, 3×NH), 7.79~7.35(m, 4H, Ar-H), 5.58(t, 1H, J=9.2 Hz C ₁ '-H), 5.25~3.58(m, 6H, 糖环上 2', 3', 4', 5', 6'-H), 5.05(s, 2H, COCH ₂ N), 2.04, 2.03, 2.00, 1.89(4s 12H, 4×CH ₃ CO)

续表 3

化合物	¹ H NMR, δ
6j	9. 95(bs, 3H, 3× NH), 8. 00~7. 22(m, 4H, Ar—H), 5. 34(t, 1H, $J=9. 6$ Hz C ₁ —H), 5. 18~3. 30(m, 6H, 糖环上 2', 3', 4', 5', 6'-H), 2. 76(s, 2H, COCH ₂ N), 1. 86, 1. 84, 1. 76, 1. 75(4s, 12H, 4× CH ₃ CO)
7a	9. 43(bs, 3H, 3× NH), 8. 40~7. 68(m, 5H, Ar—H), 5. 58(t, 1H, $J=8. 4$ Hz C ₁ —H), 5. 42~3. 24(m, 5H, 糖环上 2', 3', 4', 5'-H), 2. 11, 2. 06, 2. 02(3s, 9H, 3× CH ₃ CO)
7b	8. 86~7. 72(dd, 4H, $J=5. 4$ Hz 4-pyridine-H), 7. 68(bs, 3H, 3× NH), 5. 50(t, 1H, $J=8. 2$ Hz C ₁ —H), 5. 35~3. 30(m, 5H, 糖环上 2', 3', 4', 5'-H), 2. 08, 2. 07, 2. 05, 2. 03(4s, 12H, 4× CH ₃ CO)
7c	9. 27(bs, 3H, 3× NH), 7. 87~7. 27(m, 4H, Ar—H), 5. 55(t, 1H, $J=8. 8$ Hz C ₁ —H), 5. 37~3. 64(m, 5H, 糖环上 2', 3', 4', 5'-H), 2. 18, 2. 15, 2. 08(3s, 9H, 3× CH ₃ CO)
7d	9. 09(bs, 3H, 3× NH), 7. 91~6. 83(m, 4H, Ar—H), 5. 59(t, 1H, $J=8. 3$ Hz C ₁ —H), 5. 40~3. 45(m, 4H, 糖环上 2', 3', 4', 5'-H), 3. 84(s, 3H, CH ₃ O), 2. 09, 2. 07, 2. 05(3s, 9H, 3× CH ₃ CO)
7e	10. 82(bs, 1H, OH), 9. 55(bs, 1H, N ₁ —H), 9. 00(bs, 1H, N ₄ —H), 8. 55(bs, 1H, N ₂ —H), 7. 90~6. 92(m, 4H, Ar—H), 5. 61(t, 1H, $J=8. 8$ Hz C ₁ —H), 5. 50~3. 40(m, 5H, 糖环上 2', 3', 4', 5'-H), 2. 12, 2. 05, 1. 99(3s, 9H, 3× CH ₃ CO)
7f	9. 92(bs, 1H, NH), 9. 50(bs, 1H, NH), 8. 68(bs, 1H, NH), 8. 27~7. 44(m, 5H, Ar—H & CH=), 5. 62(t, 1H, $J=8. 6$ Hz C ₁ —H), 5. 43~3. 67(m, 5H, 糖环上 2', 3', 4', 5'-H), 2. 16, 2. 12, 2. 04(3s, 9H, 3× CH ₃ CO)
7g	9. 43(bs, 3H, 3× NH), 8. 40~7. 68(m, 4H, Ar—H), 5. 58(t, 1H, $J=8. 4$ Hz C ₁ —H), 5. 42~3. 24(m, 5H, 糖环上 2', 3', 4', 5'-H), 2. 11, 2. 05, 2. 01(3s, 9H, 3× CH ₃ CO)
10	6. 94(d, 1H, $J=8. 8$ Hz C ₁ —H), 5. 80~4. 10(m, 6H, 糖环上 2, 3, 4, 5, 6, 6'-H), 5. 10(bs, 1H, NH), 3. 92(q, 2H, CH ₃ CH ₂), 2. 08, 2. 07, 2. 04, 2. 02(4s, 12H, 4× CH ₃ CO), 1. 32(t, 3H, CH ₃ CH ₂)

1-芳酰基-4-(1'-N-β-D-吡喃型葡萄糖基)氨基硫脲(**8**)和1-芳酰基-4-(1'-N-β-D-吡喃型木糖基)氨基硫脲(**9**)的制备通法: 将2.0 mmol 1-芳酰基-4-(1'-N-2', 3', 4', 6'-四-O-乙酰基-β-D-吡喃型葡萄糖基)氨基硫脲(**6**)和1-芳酰基-4-(1'-N-2', 3', 4'-三-O-乙酰基-β-D-吡喃型木糖基)氨基硫脲(**7**)溶于10 mL 甲醇和5 mL 二氯甲烷中, 于冰水浴冷却下滴加5 mL 1 mol/L的MeONa/MeOH溶液, 继续搅拌至TLC显示反应完全后, 用AcOH/MeOH中和至溶液pH=7~8, 减压浓缩, 残留物经柱层析分离得糖浆**8**或**9**。

2 结果与讨论

由于全乙酰化溴代糖均具有热不稳定性, 为了避免1-溴-2, 3, 4, 6-四-O-乙酰基-α-D-吡喃型葡萄糖(**1**)和1-溴-2, 3, 4-三-O-乙酰基-α-D-吡喃型木糖(**2**)在长时间加热过程中发生分解, 我们在合成**3**和**4**时, 将文献[7]中所用的反应溶剂二甲苯改为沸点较低的甲苯并改变了加料顺序, 先将干燥Pb(SCN)₂的无水甲苯溶液加热至微沸后, 搅拌下滴加**1**或**2**的无水甲苯溶液, 这样合成**3**和**4**的产率比文献[7]方法高约15%; 但**1**和**2**与NH₄SCN或KSCN在PEG-400催化下反应未得到**3**和**4**, 而近于定量地回收到了**1**和**2**, 这与文献报道溴代烷或酰氯与NH₄SCN或KSCN在PEG-400催化下反应, 能于温和条件下高收率合成相应的烷基或酰基异硫氰酸酯完全不同; 另外, 我们按文献[7]方法用乙醇-水进行**3**的重结晶纯化时, 发现除了得到**3**之外, 还得到了**3**与乙醇的加成产物**10**, 但改为甲苯-石油醚混合溶剂重结晶则可避免**3**在纯化时与溶剂的加成反应。

3或**4**同**5**之所以易反应, 可能是由于**3**或**4**中-NCS受半缩醛C₁-O键的-I效应影响, 使-NCS中电子云进一步极化, 电荷分布更加不均匀, 导致其中碳上的+δ增大, 提高了

$-NCS$ 的亲电子活性, 从而有利于 **5** 中 $-NH_2$ 的亲核加成反应。这里我们未发现 **3** 和 **4** 的 $-NCS$ 与溶剂乙醇的亲核加成反应产物, 可能是由于 **5** 中参与反应的 $-NH_2$ 的亲核性比乙醇中 $-OH$ 的要强, 因此, 在等摩尔的 **3** 或 **4** 与 **5** 反应时, 只得到预期的产物 **6** 或 **7**。

化合物 **6**, **7** 的 IR 谱中, $3190 \sim 3340\text{ cm}^{-1}$ 的强吸收峰为 $N-H$ 伸缩振动吸收, $1756 \sim 1640\text{ cm}^{-1}$ 区域的强吸收峰为糖环上 2, 3, 4(或 6)位乙酰基和芳酰基中 $C=O$ 的伸缩振动吸收, $1220 \sim 1240\text{ cm}^{-1}$ 范围内的强吸收峰为 $C=S$ 的特征吸收; **6**, **7** 的 1H NMR 谱中, $5.5 \sim 3.2$ 范围内的多重峰为糖环上的吸收峰, 2.0 的三(或四)重峰为糖环上 2, 3, 4(或 6)位乙酰基的吸收峰, 值得注意的是 **6**, **7** 的糖环上 C_1-H 由于受到与其相连的 $-NH-$ 和 C_2-H 的偶合, 被裂分为三重峰, 这与糖基脲或 N -苷的 C_1-H 只受 C_2-H 偶合裂分为双重峰, 而与其相连的 $-NH-$ 没有影响不同^[8]; 由 **6**, **7** 的 $J_{C_1-H}=8 \sim 10\text{ Hz}$, 并按照 $J_{顺}=7 \sim 10\text{ Hz}$, $J_{反}=2.5 \sim 3.5\text{ Hz}$ 的规律^[9], 说明 **6**, **7** 均为 β -D-构型, 这一点也进一步被 **6**, **7** 的 IR 谱中 $905 \sim 915\text{ cm}^{-1}$ 出现的 C_1-H 特征吸收峰所证实^[10]; 另外, 刘方明^[6]、张自义^[11]和金桂玉^[12]等人报道的带有吡啶、苯并噻唑、芳基取代四唑、菊酰基及 2-苯基-1, 2, 3-三唑的酰氨基硫脲类化合物的 δ_{N_1-H} 、 δ_{N_2-H} 和 δ_{N_4-H} 虽都是宽峰, 但均分别出现在不同位置, 并有 $\delta_{N_4-H} > \delta_{N_1-H} > \delta_{N_2-H}$ 的一般规律; 在我们对 **6**, **7** 的 1H NMR 谱分析中, 发现除了 **6f** 和 **7e** 的 δ_{N_1-H} 、 δ_{N_2-H} 和 δ_{N_4-H} 分别出现在 3 个不同的位置外, 其余的则均出现在一个相同的位置上, 并未因其所处化学环境不同而有所差别, 这可能是由于 **6** 或 **7** 中糖基半缩醛 $C-O$ 键的 $-I$ 效应影响, 使 N_4-H 、 N_2-H 进一步极化并向低场位移, 同时极化可能提高了 N_1-H 、 N_2-H 和 N_4-H 的氢交换速度, 从而导致 δ_{N_1-H} 、 δ_{N_2-H} 和 δ_{N_4-H} 出现在同一个位置上; 而 **6f** 和 **7e** 的 δ_{N_1-H} 、 δ_{N_2-H} 和 δ_{N_4-H} 之所以能分别出现在 3 个不同的位置, 可能是由于其芳酰基的邻位上的 $-OH$ 与 N_1-H 和 N_2-H 形成分子内氢键, 使其化学位移向更低场移动。**6**, **7** 在冰水浴冷却下经 MeONa/MeOH 处理, 分别生成 **8** 和 **9**, 在其 IR 谱中, 3400 cm^{-1} 附近出现的 $-OH$ 特征吸收峰及其 1H NMR 谱中 ~ 2.00 的糖环上 2, 3, 4(或 6)位乙酰基特征吸收峰的消失表明乙酰基被脱除, 并且, **8** 和 **9** 的结构被元素分析和 IR 谱中 C_1-H 在 $\sim 910\text{ cm}^{-1}$ 的特征峰进一步证实。

参 考 文 献

- 1 Schroeder D C. *Chem Rev*, 1995; 181
- 2 Goodman I. *Adv Carbohydr Chem*, 1958, **13**: 233
- 3 Ajit Varki. *Glycobiology*, 1993, **3**(2): 97
- 4 Garg H G, Jeanloz R W. *Adv Carbohydr Chem Biochem*, 1985, **43**: 135
- 5 Lemieux R U. *Methods Carbohydr Chem*, 1963, II: 221
- 6 刘方明, 于建新, 鲁文杰等. 合成化学, 1998, **6**(4): 372
- 7 Deshmukh S P, Berad B N, Paranjpe M G. *J Indian Chem Soc*, 1986, LXIII: 673
- 8 Jasinska J. *Roczn Chem*, 1971, **45**: 1641
- 9 西沢一俊, 吉村寿次. 碳水化合物. 东京: 朝仓书屋, 1980; 267
- 10 谢晶曦. 红外光谱在有机化学和药物化学中的应用. 北京: 科学出版社, 1978; 77
- 11 (a) 张自义, 冯小明, 陈立民等. 高等学校化学学报, 1989, **10**(5): 471
 (b) 陈立民, 张自义, 张贤等. 高等学校化学学报, 1988, **9**(3): 283
 (c) 张自义, 刘莹, 郑国钰等. 药学学报, 1991, **26**: 809
- 12 金桂玉, 候震, 任军等. 有机化学, 1997, **17**(4): 349

Synthesis of 1-Aroyl-4-[1'-*N*-β-D-glycopyranosyl]-thiosemicarbazides

Yu Jianxin^{*}, Liu Fangming, Li Yanping, Cheng Liang, Fan Xin, Liu Yuting
(Department of Chemistry, Xinjiang University, Urumqi 830046)

Abstract The 1-aryloyl-4-[1'-*N*-2', 3', 4', 6'-tetra-*O*-acetyl-β-D-glycopyranosyl] thiosemicarbazides (**6**) and seven 1-aryloyl-4-[1'-*N*-2', 3', 4'-tri-*O*-acetyl-β-D-xylopyranosyl] thiosemicarbazides (**7**) were synthesized by condensation of 2, 3, 4, 6-tetra-*O*-acetyl-β-D-glycopyranosyl isothiocyanate (**3**) and 2, 3, 4-tri-*O*-acetyl-β-D-xylopyranosyl isothiocyanate (**4**) with aryl hydrazines (**5**) in 95% EtOH under reflux, respectively, and also 1-aryloyl-4-[1'-*N*-β-D-glycopyranosyl] and corresponding 1'-*N*-β-D-xylopyranosyl] thiosemicarbazides (**8, 9**) after deacetylation. The structures of the compounds were confirmed by elemental and spectral analyses.

Keywords glycosyl isothiocyanate, acylthiosemicarbazide, synthesis